

بررسی بیان زن MALAT1 در دودمان‌های سلولی میلوبئیدی و لنفوئیدی

جواد احمدی (M.Sc)، سعید کاویانی^{*} (Ph.D)، امیر آتشی (Ph.D)

دانشگاه تربیت مدرس، تهران، دانشکده علوم پزشکی، گروه هماتولوژی

چکیده

سابقه و هدف: اخیراً چندین RNA غیر کد شونده بلند مرتبط با سرطان از قبیل رونوشت مرتبط با متاستاز آدنوکارسینومای ریه (HOTAIR) و ANRIL در بسیاری از تومورهای توپر افزایش بیان داشته و نقش تنظیمی مهمی در بیولوژی، متاستاز و عود سرطان دارا می‌باشد. لوسومی میلوبئیدی حاد (AML) و لوسومی لنفوئیدی حاد (ALL) گروهی از سرطان‌ها هستند که رده‌های میلوبئیدی و لنفوئیدی سلول‌های خونی را درگیر می‌کنند و با رشد سریع سلول‌های سفید خون، انباشت سلول‌های سفید غیر طبیعی در مغز استخوان و اختلال در تولید سلول‌های طبیعی خون شناسایی می‌شوند.

مواد و روش‌ها: دودمان‌های سلولی KG1 و Jurkat به ترتیب در محیط‌های کشت IMDM و RPMI-1640 کشت داده شدند. RNA توتال از دودمان‌های سلولی و سلول‌های طبیعی مغز استخوان استخراج و سطوح بیان زن MALAT1 با استفاده از تکنیک qRT-PCR سنجیده شد.

یافته‌ها: بیان زن MALAT1 در دودمان سلولی KG1 در مقایسه با سلول‌های طبیعی مغز استخوان افزایش معنی‌داری داشت ($p < 0.05$)، در حالی که بیان زن MALAT1 در دودمان سلولی Jurkat نسبت به نمونه نرمال کاهش یافته بود ($p < 0.05$).

نتیجه‌گیری: یافته‌های ما نشان داد که افزایش و یا کاهش بیان این RNA تنظیمی می‌تواند در بیولوژی این سرطان‌ها دخالت داشته و همچنین دارای یک عمل کرد بالقوه به عنوان یک بیومارکر جدید برای تشخیص، پیش آگهی و متاستاز باشد.

واژه‌های کلیدی: سلول‌های جورکت، سرطان خون میلوبئید حاد، لنفوم - سرطان خون با پیش سلول لنفوبلاستیک

کروموزوم‌های ۵ و ۷ و همچنین تریزوومی کروموزوم ۸ در ارتباط است. میزان بهبودی از طریق شیمی درمانی در بیماران مبتلا به AML حدود ۸۵–۹۰٪ است، ولی با این وجود اکثر بیماران دچار عود بیماری شده و بعد از ۲ سال از بهبودی دچار مرگ می‌شوند [۱-۳]. لوسومی لنفوبلاستی حاد (ALL) غالباً به عنوان یک بدخیمی حاد در کودکان شناخته می‌شود. که به علت تکثیر نابهجهای لنفوسيت‌های B و T ایجاد می‌شود. در ایالات متحده آمریکا تقریباً سالیانه ۲۵۰۰ مورد جدید لوسومی حاد تشخیص داده می‌شود که ۸۰٪ از این موارد

مقدمه

AML یک بیماری کلونال و هتروژنوس سلول‌های پروژنیتور هماتوپوئیک و یکی از شایع‌ترین بدخیمی‌های میلوبئیدی در بالغین است که در آن توانایی تمایز سلولی و پاسخ به تنظیم‌کننده‌های نرمال تکثیر از بین می‌رود. سن بروز بیماری معمولاً ۷۰ سال به بالا و درصد شیوع آن ۳/۸ مورد در هر ۱۰۰/۰۰۰ نفر است که این مقدار با افزایش سن تا ۱۷/۹ مورد در هر ۱۰۰/۰۰۰ نفر افزایش پیدا می‌کند. AML با ناهنجاری‌های کروموزومی از قبیل ناهنجاری

است که در سال ۲۰۰۳ به وسیله آقای Ji از طریق هیبریداسیون کاہشی به عنوان یک پارامتر پیش‌آگهی کننده متاستاز در بیماران مبتلا به آدنوکارسینومای ریه یا squamous (فاز ۱) و بیماران مبتلا به کارسینومای سلول شناسائی شد. در ژنوم انسان MALAT1 بروی کروموزوم ۱۱، ناحیه‌ای که با تومورزنیز و متاستاز در ارتباط است، قرار گرفته است. ژن MALAT1 به صورت حفاظت شده در ۲۳ گونه از پستانداران یافت می‌شود [۱۰، ۸، ۷]. MALAT1 در تنظیم کردن دو فرایند بیولوژیکی مهم دخالت دارد. این فرایندها عبارتند از: ۱- تنظیم بیان ژن ۲- آلترناتیو اسپلایسینگ MALAT1 (AS) یکی از تنظیم‌کننده‌های مهم تومورسایپرسورها نیز است. یکی از مهم‌ترین تومورسایپرسورها که به وسیله MALAT1 تنظیم می‌شود P53 است. کاهش و تخلیه سلول از MALAT1 منجر به فعال شدن P53 و متعاقب آن موجب مهار تکثیر سلول‌های توموری می‌شود [۱۱-۹، ۷]. MALAT1 در مسیر آپوپتوز نیز دخالت دارد به این صورت که خاموش‌سازی MALAT1 باعث افزایش تنظیم کاسپاز ۳ و ۸ و کاهش تنظیم Bcl-2 و Bcl-xl می‌شود [۱۲، ۷]. هم‌چنین این IncRNA در چندین تومور جامد (پستان، پانکراس، کولون، پروستات و سرطان کبد) به صورت مثبت تنظیم (upregulated) می‌شود و بیان افتراقی آن با متاستاز و عود سرطان در ارتباط است. MALAT1 به عنوان یک پارامتر پیش‌آگهی کننده برای بقاء بیماران مبتلا به آدنوکارسینوما و سلول اسکوآموس در مرحله ۱ بیماری و هم‌چنین یک پارامتر مرتبط با متاستاز در NSCLC (Non Small Cell Lung Carcinoma) شناخته شده است [۱۰]. با توجه به مطالب ذکر شده، می‌توان بیان داشت که MALAT1 نقش بسیار مهمی در فرایندهای مختلف سلولی از جمله تکثیر، تمایز، آپوپتوز، عود و متاستاز دارد، لذا اهمیت آن ما بر آن داشت تا با توجه به شیوع بیماری AML و ALL، به عنوان اولین قدم در بررسی این RNA تنظیمی در این بیماری‌ها میزان بیان MALAT1 را در دودمان‌های سلولی مربوط به AML و ALL بسنجدیم.

مربوط به ALL می‌باشد. ALL سالانه باعث ابتلاء ۴-۲ کودک زیر ۱۵ سال در هر ۱۰۰۰۰۰ نفر می‌شود. خستگی، بی‌حالی، تب مداوم، تظاهرات خونریزی، درد استخوان و مفاصل از شایع‌ترین علائم ALL می‌باشد [۶-۴]. RNA به Long noncoding RNAs (lncRNA) تنظیمی اطلاق می‌شود که طولی بیش‌تر از ۲۰۰ نوکلوتید داشته باشند و به پروتئین کد نشوند. این ملکول‌ها نقش‌های lncRNA تنظیمی کلیدی را در بیولوژی سرطان بازی می‌کنند. lncRNA ها در انواع مختلفی از سرطان‌ها از تنظیم خارج می‌شوند و سطوح بیان بعضی از آن‌ها با عود، متاستاز و پیش‌آگهی سرطان ارتباط دارد. هم‌چنین ثابت شده که افزایش بیان بعضی از lncRNA ها (مانند انکوژن‌ها) می‌تواند رشد تومور و matrix invasion سلول‌های سرطانی را افزایش دهد. به عنوان مثال افزایش بیان MALAT1 در کارسینوم هپاتوسلولار با مهار کاسپاز ۳ باعث القاء تکثیر (proliferation) و در نهایت متاستاز شده از طرفی تخلیه و کاهش MALAT1 در فیبروبلاست‌های نرمال انسانی (HDFs) پاسخی که متعاقب آسیب به DNA ایجاد می‌شود را القاء کرده و در نتیجه منجر به فعال‌سازی P53 و ژن‌های هدف آن و در نتیجه آپوپتوز می‌شود.

اخيراً چندين IncRNA به عنوان lncRNA مختص سرطان شناسائي شده‌اند که شامل ANRIL، MALAT1 و HOTAIR می‌باشند. اين lncRNA های مرتبط با سرطان اغلب به صورت نابهجا بیان می‌شوند و پیشرفت سرطان را تحت تاثیر قرار می‌دهند، لذا این احتمال وجود دارد که این ملکول‌ها بتوانند به عنوان بیومارکرهای جدید برای تشخیص، پیش‌آگهی، متاستاز و پیش‌گوئی پاسخ به درمان عمل کنند و هم‌چنین به عنوان اهداف درمانی جدید، مهار شده یا تحت کنترل درآیند [۹-۷].

MALAT1 (Metastasis associated lung NEAT2 (noncoding RNA) یا (adenocarcinoma transcript1 lncRNA (nuclear_enriched abundant transcript2 فراوان و منحصر در هسته با طولی در حدود ۸/۷ کیلوباز

پیتاژ و به سلول‌ها اضافه شد-۵- با استفاده از یک سرنگ انسولین، محلول ۱۰-۲۰ مرتبه پیتاژ شد-۶- محلول داخل میکروپلیت به ستون‌های DNA Eliminator (ستون‌های آبی رنگ) منتقل و به مدت ۳۰ ثانیه در دور ۸۰۰۰ g سانتریفیوژ شد-۷- به محلول زیر فیلتر، ۷۰۰ میکرولیتر اتانول ۷۰٪ (تهیه شده با آب تزریقی) اضافه و پیتاژ شد-۸- ۱۴۰۰ میکرولیتر محلول در دو نوبت (هر نوبت ۷۰۰ میکرولیتر) به ستون RNAeasy (ستون‌های صورتی رنگ) منتقل و ۲۰ ثانیه در دور ۸۰۰۰ g سانتریفیوژ شد-۹- ۵۰۰ میکرولیتر بافر RW1 به ستون صورتی رنگ اضافه و به مدت ۲۰ ثانیه در دور ۸۰۰۰ g سانتریفیوژ و سپس محلول زیرین دور ریخته شد-۱۰- در یک میکروپلیت RNAse free ۷۵ میکرولیتر آب تزریقی، ۱۵ میکرولیتر محلول DNase I و ۱۵ میکرولیتر بافر ریخته، مخلوط و به ستون صورتی رنگ اضافه و به مدت ۲۰ دقیقه در دمای محیط قرار داده شد-۱۱- محلول زیرین دور ریخته شد و ۵۰۰ میکرولیتر محلول RW1 به ستون اضافه و در دور ۸۰۰۰ g به مدت ۲۰ ثانیه سانتریفیوژ و محلول زیرین دور ریخته شد-۱۲- ۵۰۰ میکرولیتر محلول RPE به ستون اضافه و در دور ۸۰۰۰ g به مدت ۲ دقیقه سانتریفیوژ شد (این مرحله ۲ مرتبه انجام شد)-۱۳- تیوب زیرین میکروتیوب صورتی عوض شد و به جای آن یک میکروتیوب ۱/۵ میلی‌لیتری قرار داده شد-۱۴- ۵۰ میکرولیتر آب تزریقی در تیوب صورتی ریخته و به مدت ۱ دقیقه در دور ۸۰۰۰ سانتریفیوژ شد-۱۵- بلافاصله تیوب ۱/۵ میلی‌لیتری بر روی کیسه یخ قرار داده شد.

جهت استخراج RNA از سلول‌های مغز استخوان طبیعی جدا شده به روش فایکول از کیت QIAamp RNA Blood Mini Kit (50) و بر طبق پروتکل استفاده شد، به این ترتیب که:

۱- یک حجم از نمونه با ۵ حجم از بافر EL در یک تیوب مناسب مخلوط شد-۲- محلول به مدت ۱۵ دقیقه بروی یخ انکوبه و هر ۲ دقیقه مختصراً به وسیله‌ی ورتكس مخلوط شد-۳- محلول به مدت ۱۰ دقیقه در ۴ درجه سانتی‌گراد در

مواد و روش‌ها

مواد. در این مطالعه که به روش تجربی انجام گرفت، محیط‌های کشت IMDM و RPMI-1640 از شرکت Sigma آلمان و سرم جنینی گاو ۲۰٪ از شرکت Invitrogen آنتی‌بیوتیک‌های استرپتومایسین و پنی‌سیلین از شرکت Gibco آلمان و فلاسک‌های کشت سلول از شرکت jetbiofil گردید. رده سلولی KG1 و JURKAT از انتیتوپاستور تهران (ایران) و محلول فایکول از شرکت GE Healthcare خریداری شد.

کشت سلول و استخراج RNA. رده‌های سلولی KG1 و JURKAT به ترتیب در محیط‌های IMDM و RPMI-1640 غنی‌شده با سرم جنینی گاو ۲۰٪، آنتی‌بیوتیک‌های استرپتومایسین (۱۰۰ U/ml) و پنی‌سیلین (۱۰۰ μ/ml) و ال‌گلوتامین (mM2)، کشت داده شدند. سلول‌ها در مدت کشت سلولی در انکوباتور با شرایط ۹۵٪ CO₂، رطوبت ۹۵٪ و در دمای ۳۷°C قرار گرفتند، و هر ۲ روز یک بار پاساز و تعویض مجدد محیط کشت صورت گرفت.

نمونه مغز استخوان طبیعی از افراد دهنده پیوند (donor) مراجعه‌کننده به بیمارستان شریعتی تهران تحت نظر پزشک و کسب رضایت آنان بر اساس دستورالعمل‌های اخلاق پزشکی بیمارستان مذکور، تهیه گردید. با استفاده از محلول فایکول سلول‌های تک هسته‌ای و سلول‌های مربوط به ناحیه گلبول‌های قرمز جدا شد.

جهت استخراج RNA از سلول‌های رده KG1 و JURKAT از کیت (50) Rneasy Mini kit به روش ستونی و بر طبق پروتکل به این ترتیب استفاده شد:

۱- سلول‌های مربوطه با PBS سرد شسته شد-۲- محلول RNAase free انتقال داده شد-۳- میکروپلیت به مدت ۵ دقیقه در دور ۳۰۰ g سانتریفیوژ و سپس محلول رویی دور ریخته و میکروپلیت بر روی دستمال خشک شد-۴- در یک تیوب جدید به ۷۰۰ میکرولیتر محلول RLT، ۷ میکرولیتر محلول ME-2 اضافه،

۱۳ میکرولیتر RNA تام استخراج شده به همراه ۱ میکرولیتر پرایمر (Oligo dT) در ۶۵۰ C master mix که شامل آنزیم M-MLV (۱ میکرولیتر)، آنزیم RNase Inhibitor (۱ میکرولیتر)، بافر X (۱۰۰ میکرولیتر) و dNTP (۲ میکرولیتر) می‌باشد به آن اضافه گردید. سپس میکروتیوب‌ها در دستگاه ترموسیکلر ۱۰ ساعت در ۴۲°C، ۱۰ دقیقه در ۷۰°C قرار داده شد و نمونه‌های cDNA ساخته شدند. به منظور اطمینان از سالم بودن cDNA ساخته شده، نمونه‌ها توسط یک House Keeping gene actin-β، با استفاده از PCR (۵ دقیقه ۶۲°C، ۳۰ ثانیه ۹۴°C، ۳۰ ثانیه ۴۰°C، ۵ دقیقه ۷۲°C در ۴۰ سیکل) بررسی شد و در نهایت نمونه‌ها برای ژن MALAT1 مورد بررسی قرار گرفت.

PCR: برای هر واکنش از ۱۰ میکرولیتر master mix آماده با غلظت X2، ۲ میکرولیتر cDNA و ۰/۵ میکرولیتر از پرایمرهای Forward و Reverse استفاده شد و حجم نهایی با آب استریل به ۲۰ میکرولیتر رسانده شد. توالی پرایمرهای استفاده شده در جدول زیر نشان داده شده است (جدول ۱). جهت اطمینان از یکتا بودن محل اتصال پرایمرهای استفاده شده، در مورد هر دو پرایمر از نرمافزار BLAST در مورد ژنوم انسان جستجو انجام شد. مراحل PCR به صورت زیر می‌باشد:

۵ دقیقه ۶۲°C، ۳۰ ثانیه ۹۴°C، ۳۰ ثانیه ۴۰°C
ثانية ۷۲°C، ۵ دقیقه ۷۲°C در ۴۰ سیکل. محصولات PCR بر روی ژل آگاراز ۲٪ الکتروفورز شدند. اندازه باندهای مربوط به ژن MALAT1 (۸۴ bp) می‌باشد (شکل ۱ و ۲).

Real-Time PCR: واکنش Real-Time PCR در دستگاه AB applied biosystems پلیت ۴۶ خانه‌ای مخلوطی به حجم ۱۰ میکرولیتر متشکل از ۵ میکرولیتر مخلوط اصلی سایبرگرین (SYBR Green) و ۰/۳ Master Mix (خریداری شده از شرکت Ampliqon) میکرولیتر از پرایمرهای اختصاصی هر ژن، ۱ میکرولیتر cDNA و ۳/۷ میکرولیتر آب مقطر تهیه شد. برنامه زمانی و

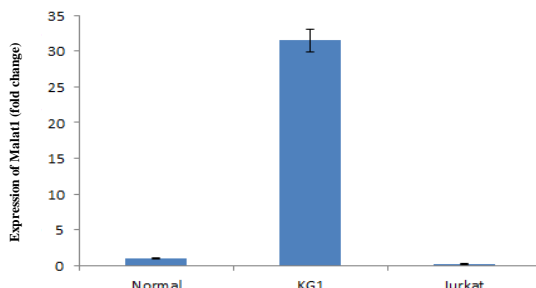
دور g ۴۰۰ سانتریفیوژ و محلول رویی کاملاً حذف شد -۴ دو حجم از بافر EL به تکمه سلولی اضافه و مختصرأ به وسیله‌ی ورتكس مخلوط شد -۵ محلول به مدت ۱۰ دقیقه در ۴ درجه سانتی‌گراد در دور g ۴۰۰ سانتریفیوژ و محلول رویی کاملاً حذف شد -۶ ۶۰۰ میکرولیتر بافر RLT به تیوب اضافه و مخلوط شد -۷ محلول داخل میکروپلیت به ستون QIAshredder spin (ستون بنفش رنگ) منتقل و به مدت ۲ دقیقه با سرعت بالا سانتریفیوژ شد -۸ ۶۰۰ میکرولیتر اتانول ۷۰٪ به محلول اضافه و بیپتاز شد -۹ محلول به ستون QIAamp spin (ستون سفید رنگ) منتقل و به مدت ۱۵ دقیقه در دور g ۸۰۰ سانتریفیوژ شد -۱۰ ستون سفید رنگ به یک تیوب جدید منتقل و ۷۰۰ میکرولیتر بافر RW1 به آن اضافه و به مدت ۱۵ دقیقه در دور g ۸۰۰ سانتریفیوژ شد -۱۱ در ۱۵ میکرولیتیت ۷۵ میکرولیتر آب تزریقی، ۱۵ میکرولیتر محلول I DNase و ۱۵ میکرولیتر بافر ریخته، مخلوط و به ستون سفید رنگ اضافه و به مدت ۲۰ دقیقه در دمای محیط قرار داده شد -۱۲ محلول زیرین دور ریخته شد و ۵۰۰ میکرولیتر محلول RW1 به ستون اضافه و در دور ۸۰۰۰g به مدت ۲۰ دقیقه سانتریفیوژ و محلول زیرین دور ریخته شد -۱۳ ستون سفید رنگ به یک تیوب جدید منتقل، ۵۰۰ میکرولیتر بافر RPE اضافه و به مدت ۱۵ دقیقه در دور ۸۰۰۰g سانتریفیوژ شد (این مرحله دو مرتبه انجام شد) -۱۴ ستون سفید رنگ به یک میکروتیوب جدید ۱/۵ میلی‌لیتری منتقل، ۵۰ میکرولیتر آب تزریقی اضافه و به مدت ۱ دقیقه در دور g ۸۰۰ سانتریفیوژ شد -۱۵ - بلا فاصله تیوب ۱/۵ میلی‌لیتری بر روی کیسه یخ قرار داده شد. پس از استخراج RNA، غلظت ۱ به ۵۰ از RNA تهیه و غلظت (OD) استخراج شده از سلول‌ها به وسیله دانسیتومتری نوری (OD ۲۶۰) مورد سنجش قرار گرفت و میزان جذب در طول موج ۲۶۰ نانومتر سنجش و از غلظت و خلوص RNA استخراج شده اطمینان حاصل شد.

cDNA: به منظور ساخت cDNA از کیت سنتر CinnaGen استفاده شد.

محاسبه $2^{-\Delta\Delta Ct}$ های محاسبه شده توسط دستگاه Pfaffl Real-Time PCR (جدول ۲) با استفاده از فرمول آنالیز و $2^{-\Delta\Delta Ct}$ های مربوط به سلول‌های طبیعی مغز استخوان و رده‌های سلوی KG1 و JURKAT توسط این فرمول محاسبه شد. با توجه به نتایج، بیان ژن MALAT1 در رده سلوی KG1 نسبت به بیان آن در سلول‌های طبیعی مغز استخوان با ضریب اطمینان ۹۵٪ افزایش معنی‌داری داشت استخوان با ضریب اطمینان ۹۵٪ افزایش معنی‌داری داشت (جدول ۲، p=۰/۰۳۲)، در حالی که بیان ژن MALAT1 در رده سلوی JURKAT نسبت به بیان آن در سلول‌های طبیعی مغز استخوان کاهش معنی‌داری داشت (p=۰/۰۰۲) (شکل ۳).

جدول ۲. های محاسبه شده توسط qRT-PCR

CT	دو دمان‌های سلوی		نمونه طبیعی مغز استخوان	
	β-Actin	MALAT1	β-Actin	MALAT1
KJ1	17.54	17.28	15.94	20.95
JURKAT	14.29	17.94	21.01	17.24



شکل ۳. مقایسه میانگین بیان ژن MALAT1 در رده‌های سلوی JURKAT و KG1 در مقایسه با سلول‌های مغز استخوان طبیعی

بررسی میانگین Ct های رده‌های سلوی KG1 و JURKAT با Ct های نمونه مغز استخوان طبیعی: بررسی میانگین Ct ها با استفاده از نرم‌افزار ۱۸ SSPS انجام شد. داده‌هایی که به صورت سه تایی (Triplicate) توسط نرم‌افزار pfaffl محاسبه شده بود، با استفاده از نرم‌افزار ۱۸ SSPS مورد بررسی قرار گرفت و آزمون t-test مستقل برای تمامی داده‌ها انجام شد.

بررسی کارایی پرایمرهای طراحی شده جهت شناسایی ژن Real-Time PCR: پس از پایان هر سیکل MALAT1

دماهی واکنش Real-Time PCR در دو مرحله عبارت است از:

مرحله اول در یک چرخه به منظور فعال‌سازی آنزیم Taq پلیمراز شروع داغ (Hot start Taq polymerase) با دمای ۹۵°C به مدت ۱۰ دقیقه و مرحله دوم به صورت متنابه در طول ۴۰ چرخه با دمای ۹۵°C به مدت ۲۵ ثانیه و ۶۲°C به مدت ۶ ثانیه انجام شد. واکنش Real-Time PCR برای هر نمونه به صورت سه تایی (Triplecat) انجام شد.

جدول ۱. توالی پرایمرهای استفاده شده در بررسی بیان ژن MALAT1

	توالی	طول اندیینگ	طول مخصوص
MALAT1(F)	5' GAATTGCGTCATTTAAAGCCTAGTT3'	۶۰	۸۴
MALAT1(R)	5' GTTTCATCCTACCACTCCCAATTAAAT3'	۶۱	۸۴
β-Actin(F)	5'TGAAGATCAAGATCATTGCTCCC3'	۵۷,۲	۱۶۸
β-Actin(R)	5'AGTCATAGTCCGCCTAGAACG3'	۵۶,۶	۱۶۸



شکل ۱: بیان ژن MALAT1 در رده سلوی Jurkat و سلول‌های طبیعی مغز استخوان. β 1 = بیان ژن MALAT1 و β actin در رده سلوی KG1 و β 2 = بیان ژن MALAT1 و β actin در سلول‌های طبیعی مغز استخوان



شکل ۲: بیان ژن MALAT1 در رده سلوی KG1 و سلول‌های طبیعی مغز استخوان. β 1 = M1 بیان ژن MALAT1 و β actin در رده سلوی KG1 و β 2 = M2 بیان ژن MALAT1 و β actin در سلول‌های طبیعی مغز استخوان

نتایج

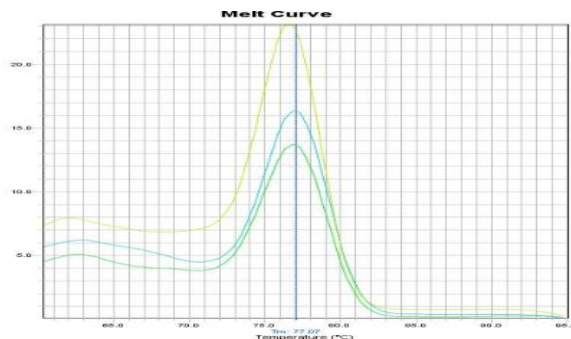
ژنتیکی سلول‌ها از طریق موتاسیون و یا تغییرات اپی‌ژنتیکی و عوامل تاثیرگذار بر روی آن‌ها یک جنبه مهم و بویا در مطالعات ملکولی می‌باشد.

کشف نقش عناصر تنظیمی از قبیل RNA‌های غیر کدشونده یا (lncRNA) در بیان Long non coding-RNAs (lncRNA) می‌تواند یک پیشرفت کلیدی در کاوش مکانیسم‌های ملکولی سرطان باشد [۱۲].

RNA‌های lncRNA های غیر کد شونده‌ای هستند که در سرتاسر ژنوم یوکاریوت‌ها رونویسی می‌شوند. lncRNA‌ها نقش‌های مهمی در برنامه‌ریزی و تنظیم ژنوم پستانداران بازی می‌کنند. بیان lncRNA‌ها با بسیاری از بیماری‌های انسانی از جمله سرطان در ارتباط است. مکانیسم‌هایی که از طریق آن lncRNA‌ها منجر به توسعه سرطان می‌شوند متفاوت و گوناگون است. lncRNA‌ها باعث اعمال تغییرات اپی‌ژنتیک از قبیل متیلاسیون هیستون‌ها بر روی ژن‌های کدکننده پروتئین می‌شوند. شواهد موجود حاکی از آن است که یکی از نقش‌های اصلی lncRNA‌ها هدایت اختصاصی مجموعه‌های بازآرایی‌کننده کروماتین به جایگاه‌های خود برای تحت تاثیر قرار دادن تغییرات اپی‌ژنتیک است. مطالعات اخیر نشان داده‌اند که lncRNA‌ها چندین فرایند بیولوژیکی مهم از قبیل رونویسی، ترجمه، تمایز سلول، تنظیم بیان ژن، تنظیم سیکل سلولی، بازآرایی کروماتین و کنترل ترافیک بین هسته و سیتوپلاسم را تنظیم می‌کنند [۱۳، ۱۴].

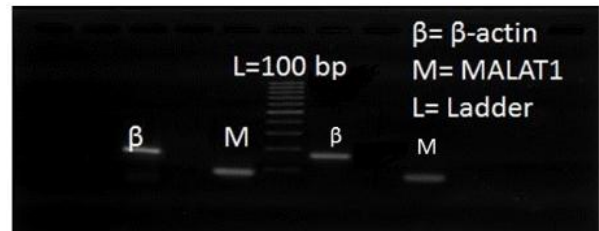
یک lncRNA است که در ابتدا به عنوان یک بیمارکر برای متاستاز در سرطان ریه شناسایی شده است [۱۴]. مطالعات نشان داده‌اند که MALAT1 به عنوان یک مارکر ژنتیکی بالقوه برای سرطان محسوب می‌شود و هم‌چنین دارای نقش چشمگیری در رخدادهای ملکولی تئوپلاسم‌ها می‌باشد [۱۵]. بیان MALAT1 در بسیاری از سرطان‌ها از قبیل سرطان پستان، پانکراس، ریه، کلون، پروستات و کبد افزایش می‌یابد و بر زنده ماندن، تکثیر و مهاجرت سلولی و هم‌چنین بر ایجاد کلونی سلولی و رشد تومور تأثیر می‌گذارد [۱۶، ۱۰، ۸]. اخیراً MALAT1 پتانسیل تومورژنیک خود را از

منحنی‌های ذوب (melt curve) پرایمرهای مورد نظر آنالیز شد. نتایج حاکی از آن بود که محصولات واکنش، اختصاصی هستند (شکل ۴).



شکل ۴. منحنی‌های ذوب (Melt Curve) مربوط به پرایمرهای MALAT1

تایید نتایج تکثیر ژن مورد نظر در واکنش Real-Time PCR با استفاده از ژل آگارز ۲٪ و نشانگر ۱۰۰ bp: پس از انجام Real-time PCR، محصولات واکنش بر روی ژل آگارز ۲٪ الکتروفورز شد. نتایج نشان داد که طول باند ایجاد شده بر روی ژل آگارز با طول ژن مورد نظر (β -actin = 84 bp) هم خوانی دارد (شکل ۵).



شکل ۵. الکتروفورز محصولات Real Time PCR بر روی ژل آگارز ۲٪ با استفاده از نشانگر ۱۰۰ bp

بحث و نتیجه‌گیری

سرطان به عنوان یک بیماری تهدیدکننده حیات بشر همواره توجه محققین را برای یافتن راه‌هایی برای تشخیص زود هنگام و یا یافتن راه‌های جدید درمانی به خود جلب کرده است. سرطان یک بیماری ژنتیکی است که به دنبال از تنظیم خارج شدن شبکه ژنومی و ایجاد تغییرات ژنتیک کلونال در ژن‌های تومور سایپرسور کلیدی و انکوژن‌ها به وجود می‌آید. از این رو مطالعه تغییرات ایجاد شده بر روی ماده

همکاران در سال ۲۰۱۲ مشاهده کردند که MALAT1 در سرطان مجرای پستان حذف شده و یا جهش یافته است [۲۰، ۲۱، ۲۳].

در مطالعه حاضر، نتایج حاصله مبنی بر الگوی بیان ژن MALAT1 در رده سلوالی KG1 با مطالعات انجام شده در سرطان‌های دیگر مطابقت دارد (بیان ژن MALAT1 نسبت به نمونه نرمال upregulated شده است) اما الگوی بیان آن در رده سلوالی JURKAT با دیگر مطالعات انجام گرفته بر روی سرطان‌های دیگر متفاوت است (بیان ژن MALAT1 نسبت به نمونه نرمال downregulated شده است) و لذا می‌تواند نشان‌دهنده نقش بالقوه این RNA تنظیمی در بیولوژی این نوع سرطان‌ها باشد. در مجموع از آنجایی که در مورد میزان بیان ژن MALAT1 در سرطان‌های خون اطلاعاتی در دسترس نیست بنابراین این الگوی متفاوت بیان در این دو سرطان خون می‌تواند دریچه‌ای برای انجام مطالعات بیشتر در راستای کشف عمل کرد این RNA تنظیمی باشد.

منابع

- [1] Estey E, Döhner H. Acute myeloid leukaemia. *The Lancet* 2006; 368: 1894-1907.
- [2] Lowenberg B, Downing JR, Burnett A. Acute myeloid leukemia. *N Engl J Med* 1999; 341: 1051-1062.
- [3] Shipley JL, Butera JN. Acute myelogenous leukemia. *Exp Hematol* 2009; 37: 649-658.
- [4] Poplack DG. Acute lymphoblastic leukemia. *New Directions in Cancer Treatment*: Springer; 1989; p: 546-551.
- [5] Ali N. Acute lymphoblastic leukemia. 1990.
- [6] Chan KW. Acute lymphoblastic leukemia. *Curr Probl Pediatr Adolesc Health Care* 2002; 32: 40-49.
- [7] Qiu M-T, Hu J-W, Yin R, Xu L. Long noncoding RNA: an emerging paradigm of cancer research. *Tumor Biology* 2013; 34: 613-620.
- [8] Tano K, Akimitsu N. Long non-coding RNAs in cancer progression. *Front Genet* 2012; 3: 219.
- [9] Tripathi V, Shen Z, Chakraborty A, Giri S, Freier SM, Wu X, Zhang Y, Gorospe M, Prasantha SG, Lal A. Long noncoding RNA MALAT1 controls cell cycle progression by regulating the expression of oncogenic transcription factor B-MYB. *PLoS Genet* 2013; 9: e1003368.
- [10] Gutschner T, Hämerle M, Diederichs S. MALAT1—a paradigm for long noncoding RNA function in cancer. *J Mol Med* 2013; 91: 791-801.
- [11] Tripathi V, Ellis JD, Shen Z, Song DY, Pan Q, Watt AT, Freier SM, Bennett CF, Sharma A, Bubulya PA. The nuclear-retained noncoding RNA MALAT1 regulates

طریق تنظیم رونویسی p53 نشان داده است و همچنین باعث افزایش تغییر سلوالهای اپیتلیالی به سلوالهای مزانشیمی (EMT) می‌شود، که این عمل را از طریق فعال‌سازی مسیر catenine- β wnt در سلوالهای سرطانی مثانه انجام می‌دهد [۱۷، ۱۳]. بیان MALAT1 در مرحله پیشرفت سرطان از تنظیم خارج می‌شود و می‌توان از آن به عنوان یک تومور مارکر بالقوه برای تشخیص و مداخلات درمانی استفاده کرد [۱۵]. MALAT1 در سرطان سلوالهای کبدی در نمونه‌های توموری موشی و انسانی از تنظیم خارج می‌شود (upregulated) و با ریسک عود تومور بعد از پیوند کبد ارتباط دارد [۱۹، ۱۸، ۱۵]. این RNA تنظیمی در مراحل اولیه سرطان پستان از تنظیم خارج می‌شود [۲۰، ۲۱] upregulated MALAT1 یک فاکتور پیش‌آگهی‌کننده منفی در بیماران مبتلا به استئوسارکوما است و با پاسخ تومور به شیمی‌درمانی ارتباط دارد [۲۲]. در این مطالعه میزان بیان ژن MALAT1 در رده سلوالی لوسمی میلوبئیدی حاد (KG1) و رده سلوالی لوسمی لفوئیدی حاد (JURKAT) نسبت به میزان بیان آن در سلوالهای مغز استخوان طبیعی مورد ارزیابی قرار گرفت. نتایج حاصل نشان داد که میزان بیان ژن MALAT1 در رده سلوالی KG1 نسبت به نمونه نرمال افزایش داشت، در حالی که میزان بیان آن در رده سلوالی JURKAT نسبت به نمونه نرمال کاهش بیان داشت. این در حالی است که در خصوص میزان بیان این ژن در سرطان‌های خون مطالعه منتشر شده‌ای در پایگاه‌های اطلاعاتی یافت نشد اما در مورد سرطان‌های دیگر می‌توان بیان داشت که در سال ۲۰۰۶ و ۲۰۰۷ به ترتیب آقای Han و آقای Lin و Jain-Hua Luo سلوالهای کبدی به این نتیجه رسیدند که MALAT1 در نمونه‌های توموری موشی و انسانی از تنظیم خارج می‌شود [۱۹، ۱۵]. همچنین در سال ۲۰۱۳ آقای Han و همکاران در بررسی سلوالهای سرطانی مثانه به این نتیجه رسیدند که MALAT1 در تکثیر سلوالی تومور، مهاجرت سلوالی و آپوپتوز را تحت تأثیر قرار می‌دهد و با درجه تومور در ارتباط است [۱۴]. در مطالعه‌ای دیگر آقای Ellis و

- cell migration by inducing epithelial-to-mesenchymal transition. *Mol BioSyst* 2012; 8: 2289-2294.
- [18] Lai MC, Yang Z, Zhou L, Zhu Qq, Xie Hy, Zhang F, et al. Long non-coding RNA MALAT-1 overexpression predicts tumor recurrence of hepatocellular carcinoma after liver transplantation. *Med Oncol* 2012; 29: 1810-1816.
- [19] Luo JH, Ren B, Keryanov S, Tseng GC, Rao UN, Monga SP, et al. Transcriptomic and genomic analysis of human hepatocellular carcinomas and hepatoblastomas. *Hepatology* 2006; 44: 1012-1024.
- [20] Ellis MJ, Ding L, Shen D, Luo J, Suman VJ, Wallis JW, et al. Whole-genome analysis informs breast cancer response to aromatase inhibition. *Nature* 2012; 486: 353-360.
- [21] Guffanti A, Iacono M, Pelucchi P, Kim N, Soldà G, Croft LJ, et al. A transcriptional sketch of a primary human breast cancer by 454 deep sequencing. *BMC Genomics* 2009; 10: 163.
- [22] Fellenberg J, Bernd L, Delling G, Witte D, Zahltan-Hinguranage A. Prognostic significance of drug-regulated genes in high-grade osteosarcoma. *Mod Pathol* 2007; 20: 1085-1094.
- [23] Praz V, Jagannathan V, Bucher P. CleanEx: a database of heterogeneous gene expression data based on a consistent gene nomenclature. *Nucleic Acids Res* 2004; 32: D542-D547.
- alternative splicing by modulating SR splicing factor phosphorylation. *Mol Cell* 2010; 39: 925-938.
- [12] Guo F, Li Y, Liu Y, Wang J, Li Y, Li G. Inhibition of metastasis-associated lung adenocarcinoma transcript 1 in CaSki human cervical cancer cells suppresses cell proliferation and invasion. *Acta Biochim Biophys Sin (Shanghai)* 2010; 42: 224-229.
- [13] Li G, Zhang H, Wan X, Yang X, Zhu C, Wang A, He L, Miao R, Chen S, Zhao H. Long Noncoding RNA Plays a Key Role in Metastasis and Prognosis of Hepatocellular Carcinoma. *Bio Med Res Int* 2014; 2014.
- [14] Han Y, Liu Y, Nie L, Gui Y, Cai Z. Inducing cell proliferation inhibition, apoptosis, and motility reduction by silencing long noncoding ribonucleic acid metastasis-associated lung adenocarcinoma transcript 1 in urothelial carcinoma of the bladder. *Urology* 2013; 81: e1-7.
- [15] Lin R, Maeda S, Liu C, Karin M, Edgington T. A large noncoding RNA is a marker for murine hepatocellular carcinomas and a spectrum of human carcinomas. *Oncogene* 2007; 26: 851-858.
- [16] Yang L, Lin C, Liu W, Zhang J, Ohgi KA, Grinstein JD, et al. ncRNA-and Pcf2 methylation-dependent gene relocation between nuclear structures mediates gene activation programs. *Cell* 2011; 147: 773-788.
- [17] Ying L, Chen Q, Wang Y, Zhou Z, Huang Y, Qiu F. Upregulated MALAT-1 contributes to bladder cancer

Evaluation of MALAT1 gene expression in AML and ALL cell lines

Javad Ahmadi (M.Sc), Saeid Kaviani (PhD)^{*}, Amir Atashi (PhD)

Dept. of Hematology, Faculty of Medical sciences, Tarbiat Modares University, Tehran, Iran

(Received: 9 Aug 2014; Accepted: 19 Apr 2015)

Introduction: Recently, several long non-coding RNAs (lncRNAs) have been identified as being cancer-specific, namely metastasis-associated lung adenocarcinoma transcript 1 (MALAT1), HOTAIR, and ANRIL. Studies have revealed that MALAT1, is up-regulated in many solid tumors and it has important regulatory roles in cancer biology, metastasis and recurrence. Acute myeloid leukemia (AML) and Acute lymphoblastic leukemia (ALL) are cancers of the myeloid and lymphoid blood cells lines, characterized by the rapid growth of abnormal white blood cells that accumulate in the bone marrow and interfere with the production of normal blood cells.

Materials and Methods: KG1 and Jurkat cell lines cultured in IMDM and RPMI-1640 mediums respectively. Total RNA extracted from the cell lines and normal bone marrow cells and MALAT1 gene expression was measured by qRT-PCR.

Results: MALAT1 gene expression was significantly increased in the KG1 cell line ($P < 0.05$), while decreased in Jurkat cell line in compare to normal bone marrow cells ($P < 0.05$).

Conclusion: Our findings suggest that MALAT1 may function as novel biomarker for diagnosis, prognosis, metastasis, and predicting the response to therapy for the aforementioned types of cancers.

Keywords: Jurkat cells, Leukemia myeloid acute, Precursor cell lymphoblastic Leukemia-lymphoma, MALAT1 long non-coding RNA, human

* Corresponding author. Tel: +98 21 88013030

kavianis@modares.ac.ir